

## 貯水域内の混合現象に関する一考察

京都大学工学部 正員 工博 高松武一郎  
 学生員 工修 内藤 正明  
 学生員 ○井上 多也  
 学生員 宮本 佳紀

1 概説

流れ系を取扱うときには、流体の運動と速度過程を分けて考えて、速度過程が線型でない場合には、流体の運動を写実した Flow Model を用いてはじめて、その系で行われている操作について知ることができる。我々は、流入、流出部の構造並びに風によって、縦断的な循環流ができた場合の沈殿操作を取り上げての沈殿効率を求めてみた。縦断的な循環流は規模の大きさも考慮し、流入水と槽内水の密度差に起因するものが、最も著しくて、実際の矩形沈殿池についてかなり詳しく調べられてはいるが、設計の際に定量的に考慮して対策を立てることには至っていないようだ。この場合に定常状態と見なせる場合には、我々の用いた Approach の仕方を適用できます。

2. Flow Model

循環流があるときの Flow Through Curve は図-1 のようになります。そこで図-2 のようなモデルを採用した。

トレーサーをインパルスとして入口に注入したとき

$$C = \frac{Q}{Q+Q'} C_I + \frac{Q'}{Q+Q'} C' \quad (1)$$

循環量パラメータを

$$r = \frac{Q'}{Q+Q'} \quad (2) \text{ とすと } T_1 = k(1-r) \frac{V}{Q} \quad (3)$$

$$T_2 = \frac{(1-k)(1-r)}{r} \quad (4)$$

ラプラス変換領域で考えて

$$G(s) = \frac{C_I(s)}{C_I(s)} = \frac{(1-r)e^{-sT_1}}{1-re^{-s(T_1+T_2)}} \quad (5)$$

となり、出口の濃度変化には、図-3 の如くある。

$$\bar{t} = (-1) \frac{dG(s)}{ds} \Big|_{s=0} = \frac{T_1+T_2}{1-r} = \frac{V}{Q} \quad (6)$$

$$r = \frac{\bar{t} - T_1}{\bar{t} + T_2} \quad (7)$$

トレーサーの拡散希釈がある、ても図-1 よりピークの位置が分れば、下、左、往って右、左が求まる。

3. 実験装置並びに方法

図-4 の装置を用いて流量を

10~60 m³/sec の範囲で変化させた。

トレーサーは流入端中央 (A) に、

加熱して流入水と同じ比重に調整

した食塩水 (1200 ppm)

15 cc をパルス状に注入した。流出

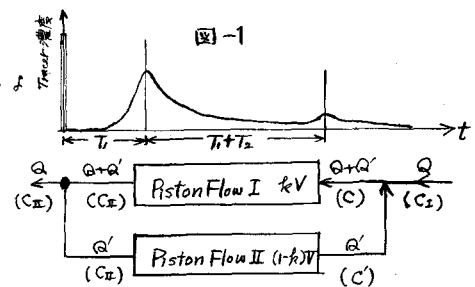
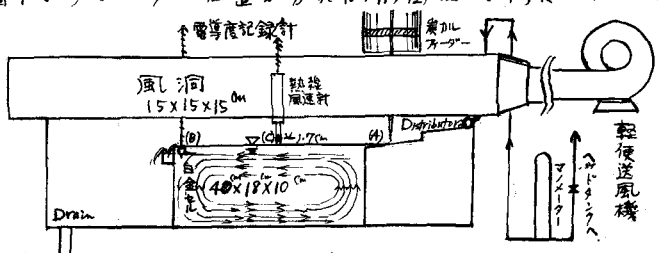
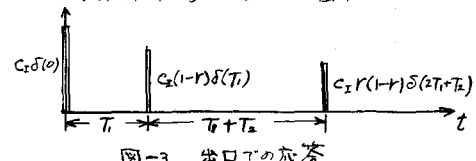


図-2 モデル

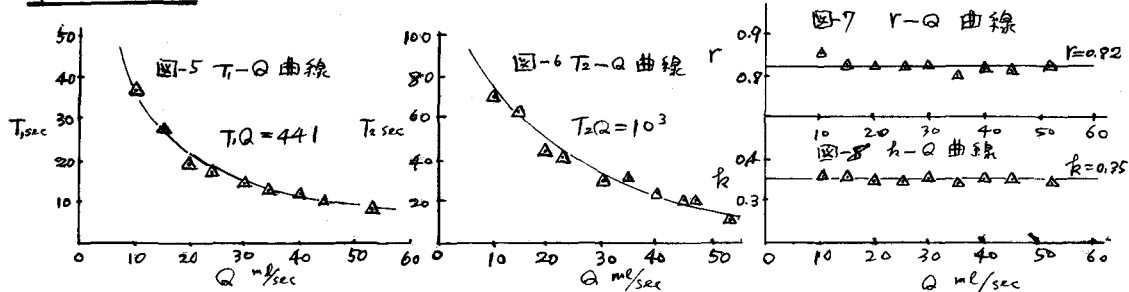
V: 槽のVolume Q: 流量 Q': Return Flow  
 $(C_I, C'_I, C, C'):$  図-1に示した箇所のトレーサー濃度



端の電気伝導度を、白金セルを用いて記録し図-1の Flow Through Curve を得た。

風は、堅硬送風機で、底なしの風洞に送り、風量はスライダックで調節し、風速は熱線風速計で測定した。

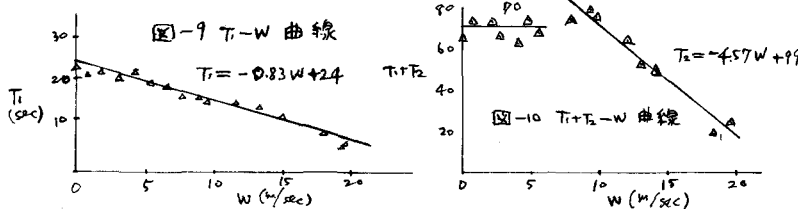
#### 4 実験結果



流量  $Q$  を  $10 \sim 60 \text{ m}^3/\text{sec}$  附近の 3 と、Fröndel 数は  $1.74 \times 10^{-7} \sim 6.17 \times 10^{-6}$  である。

$T_1$ - $Q$ ,  $T_2$ - $Q$  曲線を図-5, 6. に示す。下の  $T_1$ ,  $T_2$ ,  $T_1+T_2$  の値が一定となり、従って  $r$ ,  $r$  の値は図-7 に示すように一定となる。

次に風速を与えた場合について。これは流量  $Q = 20.0 \text{ m}^3/\text{sec}$  は固定しておらず、風速を変えて下るもので、風速分布が水面上でどのように変化したので図-4の(c)点に fix して、この点での風速の読みを代表値とした。



外力としての風速  $W$  と  $r$ ,  $r$  の関係は図-9, 10 通り。

$$0 \leq W \leq 6 \text{ m/sec} : \quad r = 0.823 + 3.54 \times 10^{-4} W. \quad k = 0.353 - 1.36 \times 10^{-2} W$$

$$6 < W \leq 21 \text{ m/sec} : \quad r = 0.730 + 9.26 \times 10^{-3} W \quad k = 0.256 + \frac{4.076}{W - 2.92}$$

$0 \leq W \leq 6 \text{ m/sec}$  の  $r$  も  $r$  も殆ど変化していないことが分った。

#### 5. 沈降効率 $\eta \rightarrow \infty$

今迄の所 Flow Model の諸々の値が求まつたのでこれをもとにして、入口液粒子の沈降速度分布  $f_2(v_s)$ 、出口液粒子の沈降速度分布  $f_1(v_s)$  ともの場合の沈降効率を、求めることとする。

$$\eta = 1 - \frac{C_2}{C_1} = \frac{1 - [M]/[r][N] + [K] + (1-r)}{1 - r[M][N]} \quad (8)$$

$$\text{但し } M = - \int_{V_{sc}}^{\infty} f_2(v_s) dv_s + \int_0^{v_{sc}} \left( \frac{v_s}{v_{sc}} \right) f_2 dv_s \quad N = 1 - \int_{v_{sc}}^{\infty} f_1(v_s) dv_s + \int_0^{v_{sc}} \left( \frac{v_s}{v_{sc}} \right) f_1 dv_s$$

$$K = \iint_{\frac{L}{2} \leq v_s \leq H_L} \frac{L}{T_1} f_1(v_s) dv_s dl \quad \text{但し } v_{sc} : \text{Piston Part I or over flow rate}$$

$v_{sc}$ :  $v_{sc}$  II  
 $H_L$ : 水深  $L$ : 入口より左側距離  
 $L$ : 境界。

詳細は講演の時に発表します。

- 1) R.F.WILLS and C.DAVIS "Flow Pattern in a rectangular Sewage Sedimentation Tank"  
Advances in water Pollution Research Vol.2 pp35 Pergamon Press (1964)